

К. т. н. Э. А. ДМИТРИЕВ, С. В. ЕМЕЛЬЯНОВ

Украина, г. Одесса, Одесский гос. политехнический ун-т

Дата поступления в редакцию

18.05 2000 г.

Оппонент д. т. н. П. Е. БАРАНОВ

ИЗМЕРИТЕЛЬ ПАРАМЕТРОВ РОТОРНЫХ МАШИН

Рассматривается система диагностирования дефектов конструкции на переходных и стационарных режимах в реальном масштабе времени.

Своевременное обнаружение зарождающихся дефектов и защита эксплуатируемого оборудования составляют основную проблему технической диагностики. Особенно остро эти проблемы стоят в настоящее время, когда ресурс машинного оборудования полностью использован или близок к этому. Поэтому проблема контроля текущего состояния, прогнозирования отказов, диагностирования и аварийной защиты машин общего и специального оборудования — одна из актуальнейших. Задачи технической диагностики, принципы построения систем контроля, диагностирования и аварийной защиты подробно рассмотрены в [1, 2].

Как известно, измеряемые сигналы $x(t)$ объекта контроля содержат регулярную $r(t)$ и шумоподобную $\eta(t)$ составляющие [3] — $x(t) = r(t) + \eta(t)$.

В свою очередь, среди контролируемых параметров, содержащих диагностическую информацию, важнейшую роль играют параметры регулярной составляющей $r(t)$, связанной с оборотами ротора. Вместе с тем в известных аппаратурных средствах диагностирования отсутствуют устройства выделения регулярной составляющей и оценивания ее параметров в реальном масштабе времени. Для решения этой задачи специально разработан измеритель параметров регулярной компоненты (ИПР), основное назначение которого — отслеживание амплитуды исследуемых сигналов на частотах $k f_p$ (k — номер гармоники, f_p — мгновенная частота оборотов ротора), кратных роторной.

ИПР может быть использован как в составе систем контроля, диагностирования и аварийной защиты (СКДА), так и автономно, для проведения научно-исследовательских, доводочных и послеремонтных работ. В последнем случае вместо объекта контроля используется магнитный регистратор.

Цель настоящей работы состоит в определении места, которое занимает ИПР в составе СКДА, и особенностей его реализации.

Структурная схема СКДА, в которой параметры регулярной составляющей измеряются (рис. 1), содержит объект контроля (ОК) или магнитный регистратор (МР), измеритель параметров регулярной составляющей (ИПР), аналого-цифровой преобразователь (АЦП), интерфейс и ЭВМ.

На вход ИПР поступают измеряемые сигналы $x_1(t)$ и $x_2(t)$ от датчиков (как правило, виброускорений или пульсаций давления), установленных на ОК, или от МР, а также сигнал синхронизации $n(t)$ от датчика оборотов (ДО). В ИПР синхронно с $n(t)$ выделяются сигналы заданной k -й гармоники роторной частоты и оцениваются их амплитуды $A_1(t)$ и $A_2(t)$, образующие выходной сигнал.

Более подробные сведения об особенностях ИПР и его функционировании дает структурная схема (рис. 2). Она содержит два идентичных измери-

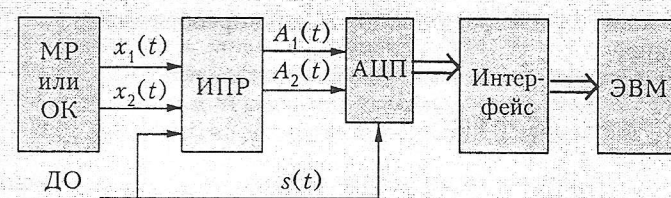


Рис. 1. Структурная схема СКДА с использованием ИПР

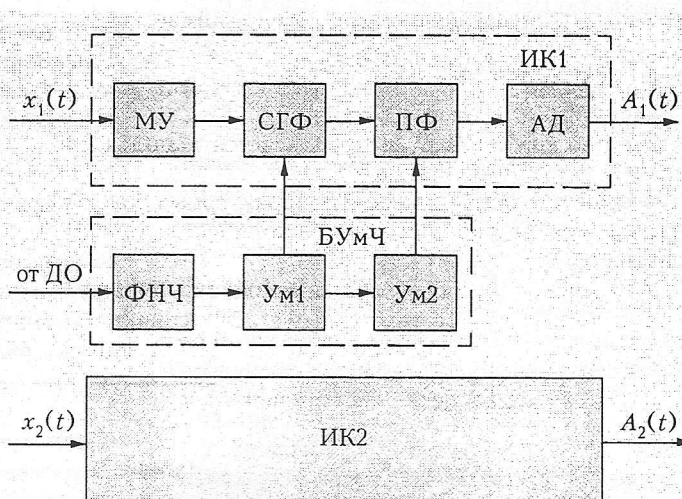


Рис. 2. Структурная схема ИПР

ТЕХНОЛОГИЯ ПРОИЗВОДСТВА

тельных канала ИК1 и ИК2 и канал умножения частоты оборотов ротора.

ИК1 состоит из масштабирующего усилителя (МУ), синхронно-гребенчатого фильтра (СГФ), следящего полосового фильтра (ПФ) и амплитудного детектора (АД). МУ согласует параметры источника исследуемого сигнала с ИПР, в СГФ разделяются регулярная и шумоподобная составляющие исследуемых сигналов, следящий полосовой фильтр ПФ выделяет заданную гармонику регулярной составляющей, связанной с оборотами ротора и следящим АД, в котором выделяется огибающая исследуемого сигнала. Синхронизация СГФ и ПФ осуществляется с использованием двухступенчатого блока умножения частоты (БУМЧ) (на вход которого поступает фильтрованный фильтром низких частот (ФНЧ) сигнал от ДО) и умножителей частоты (Ум1 и Ум2), где частота умножается в требуемое для синхронизации СГФ и ПФ число раз.

Управление ИПР осуществляется микропроцессорным блоком (на рисунке не показан).

Основные технические характеристики ИПР

Число входных каналов:

- исследуемых сигналов — 2;
 - синхронизации (от датчика оборотов ротора) — 1.
- Параметры исследуемых сигналов:
- диапазон частот — 20–20000 Гц;
 - входное напряжение — ± 5 В;
 - входное сопротивление — 1МОм;
 - коэффициент усиления входных сигналов — 1, 2, 3, 4, 5.
- Число выходных каналов:
- огибающей исследуемых сигналов — 2.

Параметры выходных сигналов:

- диапазон частот — 0–200 Гц;
 - выходное напряжение — 0–10 В;
 - сопротивление нагрузки, не менее — 2 кОм.
- Параметры сигнала датчика оборотов ротора:
- частота — $16f_p$;
 - напряжение (мин./макс.) — ± 20 мВ/ ± 10 В;
 - диапазон частот сигнала синхронизации — 300–6400 Гц.

Выделяемые гармоники роторной частоты — 1–33. Добротность СГФ на частоте f_p — 3, 6, 10, 15, 20, 30, 40, 50. Добротность следящего фильтра — 10, 15, 22, 30, 45.

Основной узел ИПР — СГФ. Его назначение — выделение гармоник на частотах, кратных f_p . Передаточная функция СГФ имеет вид

$$H(z) = (1-\alpha) / (1-\alpha e^{-zN}),$$

где α — коэффициент, значение которого лежит в интервале от 0 до 1, N определяет число зубцов гребенки СГФ. Амплитудно- (АЧХ) и фазочастотная (ФЧХ) характеристики фильтра имеют вид, показанный на рис. 3. Фильтр выполнен по технологии коммутируемых RC -цепей.

В качестве иллюстрации рассмотрим результаты обработки данных испытаний авиационного двигателя с использованием ИПР. Контролировались пульсации давления горючего до и после насоса. В результате обработки на ИПР сформирован график зависимости амплитуды $7f_p$ от частоты (рис. 4).

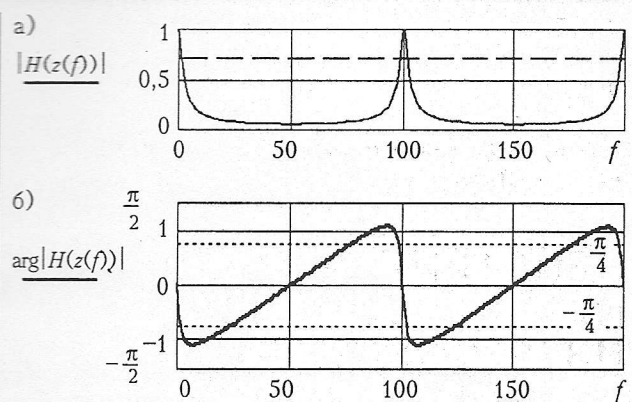


Рис. 3. АЧХ (а) и ФЧХ (б) синхронно-гребенчатого фильтра

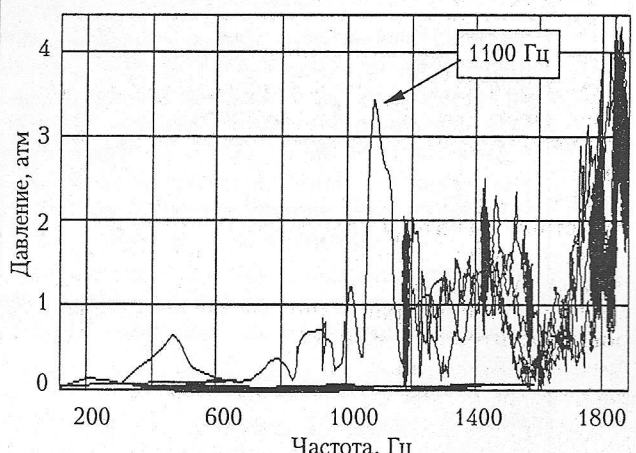


Рис. 4. Графики зависимости амплитуды $7f_p$ от частоты за время испытания, полученные в результате обработки сигнала от датчика после насоса

Из графика видно, что на частоте 1100 Гц в момент запуска наблюдается всплеск амплитуды в обеих точках измерения, что свидетельствует о наличии скрытого резонатора в проточной части. Вместе с тем непосредственное применение спектрального анализа не позволяет обнаружить этот дефект конструкции.

Таким образом, применение измерителя параметров регулярной компоненты, связанной с оборотами ротора, позволяет в ходе испытаний обнаружить дефекты конструкции, которые невозможно определить с помощью другой методики.

ИСПОЛЬЗОВАННЫЕ ИСТОЧНИКИ

1. Дмитриев Э. А. Системы контроля, диагностирования и аварийной защиты жидкостных ракетных двигателей по быстро- и медленненоменяющимся параметрам // Тр. Одес. политехн. ун-та. — Одесса, 1999. — Вып 2. — С. 92–96.

2. Попков В. И., Мышинский Э. Л., Попков О. И. Вибраакустическая диагностика в судостроении. — Л. : Судостроение, 1989.

3. Дмитриев Э. А. Диагностические модели вибраакустических сигналов // Тр. Одес. политехн. ун-та. — Одесса, 1996. — Вып 2. — С. 44–46.